

РОССИЙСКАЯ АКАДЕМИЯ НАУК  
СИБИРСКОЕ ОТДЕЛЕНИЕ

А В Т О М Е Т Р И Я

---

№ 4

1999

УДК 535.2

В. Ю. Осипов

(Санкт-Петербург)

ДВУХКОМПОНЕНТНЫЕ КРИСТАЛЛООПТИЧЕСКИЕ  
ЭЛЕМЕНТЫ ИЗ ОДНООСНЫХ КРИСТАЛЛОВ  
ДЛЯ ЛАЗЕРНЫХ ИЗМЕРИТЕЛЬНЫХ И  
ИНТЕРФЕРОМЕТРИЧЕСКИХ УСТРОЙСТВ

Широкие функциональные возможности двухкомпонентных кристаллооптических линз из одноосных кристаллов исландского шпата обуславливают целесообразность их применения в лазерной поляризационной интерферометрии, оптическом приборостроении, метрологии и т. д. Анализируется использование этих элементов для синтеза сложных когерентных полей и разработки ряда лазерных измерительных устройств, в том числе и интерферометрических. На основе кристаллооптических линз сконструированы интерферометры сдвига, предназначенные для измерения малых угловых и линейных перемещений. Приведен обзор результатов, полученных за последние 10 лет при исследовании интерференционно-поляризационных свойств кристаллооптических линз в лазерном излучении.

**Введение.** В 1970–1984 гг. в работах [1–9] были предложены и исследованы новые двухкомпонентные кристаллооптические элементы (ДКЭ) из одноосных кристаллов исландского шпата ( $\text{CaCO}_3$ ): двупреломляющие призмы переменного угла двоения (ДППУД) модификаций типа ДППУД-1 и ДППУД-2 [1–6], бифокальные линзы (БЛ) модификаций БЛ-1 и БЛ-2 [7–9]. Модификации соответствующих элементов отличаются друг от друга как взаимной ориентацией оптических осей в кристаллических компонентах, так и ориентацией осей относительно входных и выходных граней элементов. Призмы типа ДППУД были использованы для создания лазерных устройств формирования эталонного интерференционного растра с плавно перестраиваемой пространственной частотой [10] и для устройств контроля степени кривизны волновых фронтов от лазерных источников [5]. Из анализа видности интерференционного прямолинейного растра, формируемого призмой типа ДППУД, возможна оценка степени когерентности анализируемого лазерного излучения [11]. Призмы типа ДППУД также были использованы при разработке интерферометров сдвига для измерения малых угловых и линейных перемещений объекта [12]. Кроме того, призмы ДППУД явились и новым типом поляризационных устройств, осуществляющих пространственное расщепление и группирование ортогонально поляризованных волн иначе, чем традиционные призмы Рошона, Волластона и Сенармона.

Существенного расширения функциональных возможностей ДКЭ удаётся достичнуть с помощью кристаллооптических бифокальных линз. Отечественный приоритет в создании двупреломляющей кристаллической линзы двухкомпонентной конструкции под названием «бифокальная линза» подтверждается изобретением [13]. Последнее замечание сделано в связи с тем, что в работах [14, 15], выполненных значительно позднее изобретения [13], авторы либо сообщали об отсутствии сведений о проведенных где-либо ранее аналогичных разработках, либо вновь описывали «двупреломляющий линзовый поляризатор» в точном соответствии с конструкцией, предложенной в [13]. Исследованию свойств этих линз в когерентном свете уделялось большое внимание в течение 1988–1998 гг. Настоящая работа посвящена обзору результатов, полученных за последние 10 лет при исследовании линз типа БЛ из исландского шпата ( $\text{CaCO}_3$ ) в лазерном излучении, включая синтез и анализ интерференционных и дифракционных полей сложной структуры с возможными применениями в оптическом и оптико-электронном приборостроении. Синтез сложных интерференционных полей является частью современных оптических информационных технологий, поскольку синтезированные по определенным алгоритмам с высокой точностью поля могут использоваться для записи соответствующих эталонных киноформ, дифракционных элементов и голограмических решеток.

**1. Модификации бифокальных линз.** В [8, 9, 16, 17] исследовались бифокальные линзы двух модификаций: БЛ-1 и БЛ-2. В линзе БЛ-1 (рис. 1, a) оптические оси в плосковогнутом и плосковыпуклом компонентах задаются соответственно векторами  $\mathbf{a}_1 = (1, 0, 0)$  и  $\mathbf{a}_2 = (0, 0, 1)$ . В линзе БЛ-2 (рис. 1, b) оптические оси в плосковогнутом и плосковыпуклом компонентах имеют другую ориентацию:  $\mathbf{a}_1 = (1, 0, 0)$  и  $\mathbf{a}_2 = (0, 1, 0)$ . Следует подчеркнуть, что в обеих модификациях БЛ оптические оси в кристаллических компонентах взаимно ортогональны. В случае БЛ-2 оптические оси  $\mathbf{a}_1$  и  $\mathbf{a}_2$  параллельны входной и выходной граням линзы, а в БЛ-1 имеет место другая ситуация: ось  $\mathbf{a}_1$  параллельна входной грани, а ось  $\mathbf{a}_2$  перпендикулярна выходной грани линзы.

Следуя [8, 9, 16], рассмотрим основные характеристики бифокальных линз для нормального падения на входную грань БЛ коллимированного циркулярно поляризованного лазерного пучка. Проанализируем вначале случай падения пучка со стороны плосковогнутого компонента (из области 1), а затем случай падения пучка со стороны плосковыпуклого компонента (из области 4).

**1.1. БЛ-1.** При падении плоской волны на БЛ-1 со стороны плосковогнутого компонента (см. рис. 1, a) в области 2 распространяются параллельно оси  $Oz$  две волны с ортогональными поляризациями:  $o$ -волна и  $e$ -волна. На сферической границе раздела БЛ-1 возникают в общем случае четыре волны, которым мы присвоим следующие индексы:  $oo$ ,  $oe$ ,  $eo$ ,  $ee$  ( $oo$  и  $oe$  означают преобразование  $o$ -волны из области 2 в  $o$ - и  $e$ -волны в области 3, соответственно  $eo$  и  $ee$  – преобразование  $e$ -волны из области 2 в  $o$ - и  $e$ -волны в области 3). Пучки  $oo$  и  $oe$  не претерпевают каких-либо преломлений на сферической границе раздела и на выходе из БЛ-1 остаются параллельными оси  $Oz$ . В свою очередь, пучки  $eo$  и  $ee$  на выходе из БЛ-1 фокусируются. Путем выбора состояния поляризации падающего на БЛ-1 широкоапертурного коллимированного пучка на выходе линзы можем иметь либо только две плоскопараллельные  $oe$ - и  $oo$ -волны, либо только две сходящиеся  $eo$ - и  $ee$ -волны, либо все четыре волны вместе. Указанные случаи реализуются соответственно при

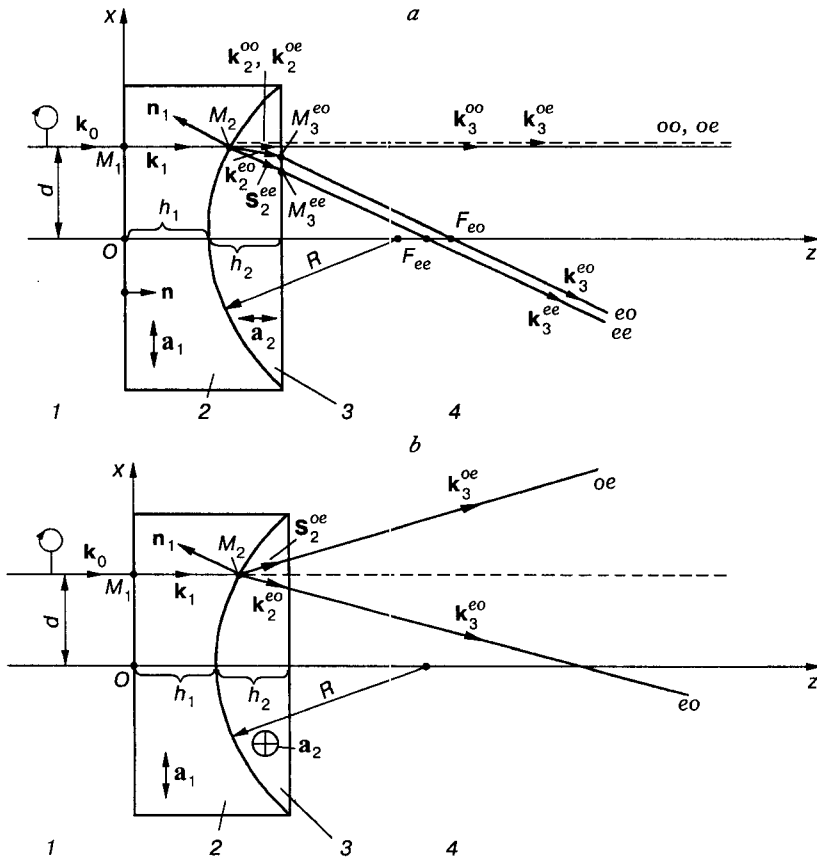


Рис. 1. Модификации бифокальных линз типа БЛ-1 (а) и БЛ-2 (б) и трассировка лучей в них

следующих ориентациях вектора напряженности электрического поля  $\mathbf{E}$  в падающем пучке:  $(0, E_0, 0)$ ;  $(E_0, 0, 0)$  и  $(E_0/\sqrt{2}, E_0/\sqrt{2}, 0)$ . Отметим, что если на входную грань нормально падает пучок с вектором поляризации  $(E_x, 0, 0)$ , то распределение интенсивности электромагнитного поля в каждом из  $eo$ - и  $ee$ -пучков будет неоднородным по выходной апертуре. Для  $eo$ -пучка распределение интенсивности пропорционально  $\sin^2\phi$ , а для  $ee$ -пучка – приближенно пропорционально  $\cos^2\phi$ . Здесь  $\phi$  – азимутальный угол между осью  $Ox$  и точкой входа парциального  $e$ -луча на сферическую границу между компонентами линзы. Соответствующий так называемый эффект «дуплетной фокусировки» рассмотрен в работах [8, 16, 18]. Сферики аберрации сходящихся  $eo$ - и  $ee$ -пучков детально исследованы в [16, 19].

При падении плоской волны на БЛ-1 со стороны плосковыпуклого компонента в области 3 возникают взаимно вырожденные  $e$ - и  $o$ -волны, так как различные состояния поляризации распространяются вдоль оптической оси  $\mathbf{a}_2 = (0, 0, 1)$  с одинаковой скоростью и приобретают одинаковый фазовый набег. На сферической границе раздела между компонентами линзы происходит трансформация этой плоской вырожденной волны в сходящуюся ( $e$ ) и плоскую ( $o$ ) волны, которые распространяются справа налево в области 2. В итоге на выходе БЛ-1 в области 1 имеем коллимированный  $o$ -пучок и сходя-

щийся  $e$ -пучок, деформированный сферической аберрацией и астигматизмом. Состояния поляризации обоих пучков взаимно ортогональны. Путем выбора состояния поляризации падающего пучка на выходе можем иметь один лишь сходящийся  $e$ -пучок. Астигматизм  $e$ -пучка вызван различной кривизной соответствующего волнового фронта в  $x$ - и  $y$ -направлениях на выходе из БЛ-1. Дифракционное поле, возникающее в области фокусировки  $e$ -пучка, является так называемой дифракционной катастрофой и подробно проанализировано в [20].

Итак, [8, 21] при нормальном падении плоской волны на БЛ-1 из области 1 происходит ее расщепление на выходе в общем случае на четыре волны, а при падении плоской волны из области 4 на выходе БЛ-1 формируются только два пучка. Таким образом, кристаллооптический элемент типа БЛ-1 демонстрирует случай, когда не только состояние поляризации, но и количество волн на выходе и картины интерференции поляризованных волн различаются для противоположных направлений распространения света.

Отметим [21], однако, что уже при небольшом наклонном (до  $10^\circ$ ) падении коллимированного пучка на БЛ-1 из области 4 фазовые скорости и направления распространения  $e$ - и  $o$ -лучей в области 3 будут различны (снятие вырождения) и на выходе БЛ-1 будем иметь в общем случае четыре пучка:  $eo$ ,  $oe$  и  $ee$  (рис. 2).

1.2. БЛ-2. Следуя [8, 17], рассмотрим нормальное падение коллимированного циркулярно поляризованного пучка на входную грань БЛ-2 со стороны плосковогнутого компонента (см. рис. 1, б). Тогда в области 2 будут распространяться параллельно оси  $Oz$  ортогонально поляризованные  $e$ - и  $o$ -волны (аналогично со случаем БЛ-1). Далее на сферической границе разделя между компонентами линзы имеет место трансформация типов волн: так,  $e$ -волну из области 2 преобразуется в  $o$ -волну в области 3 при сохранении

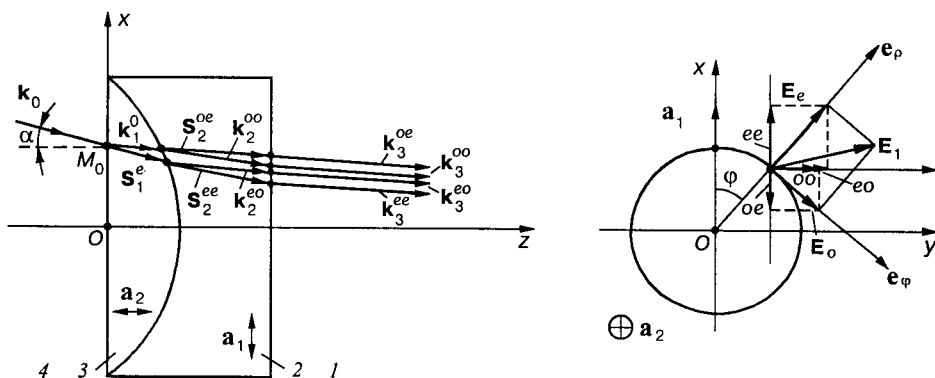


Рис. 2. Схема хода лучей при наклонном падении лазерного пучка на БЛ-1 со стороны плоско-выпуклого компонента. В правой части рисунка показаны ориентации векторов напряженности электрического поля в  $eo$ -,  $ee$ -,  $oo$ -,  $oe$ -парциальных лучах, сформированных в результате наклонного падения на входную грань БЛ-1 парциального луча с волновым вектором  $k_0$  и поляризацией вектора электрического поля  $E_1$ :  $E_o$  и  $E_e$  – векторы напряженности электрического поля для  $o$ - и  $e$ -лучей, возникающих в области 3 линзы;  $e$ -луч поляризован в плоскости, содержащей оптическую ось  $a_2$  и радиус-вектор  $\rho$ . Радиус-вектор проведен из точки  $O$  в точку падения парциального луча  $M_0$ ;  $o$ -луч в области 3 поляризован в перпендикулярной плоскости ( $E_o \perp \rho$ ). Векторы напряженности электрического поля для  $ee$ - и  $oe$ -лучей ориентированы в направлении оси  $a_1$ , а для  $eo$ - и  $oo$ -лучей – в направлении, перпендикулярном оси  $a_1$ .

поляризации волны и соответственно *o*-волна из области 2 преобразуется в *e*-волну в области 3 также при сохранении поляризации волны. В результате на выходе из линзы в области 4 имеем сходящийся (*eo*) и расходящийся (*oe*) пучки (*eo* и *oe* указывают преобразование типов волн на сферической границе раздела.) Путем выбора состояния поляризации падающего на БЛ-2 лазерного пучка на выходе можем иметь либо один сходящийся *eo*-пучок, либо один расходящийся *oe*-пучок, либо одновременно оба *eo*- и *oe*-пучка. Указанные три случая реализуются соответственно при следующих ориентациях вектора напряженности электрического поля  $\mathbf{E}$  во входном пучке:  $(E_0, 0, 0); (0, E_0, 0)$  и  $(E_0/\sqrt{2}, E_0/\sqrt{2}, 0)$ . Отличительной особенностью БЛ-2 является то, что волны типа *ee* и *oo* имеют чрезвычайно малую интенсивность при наклонном падении лучей на входную грань БЛ-2 и их появлением можно пренебречь даже при углах падения, меньших  $30^\circ$  [17].

При падении коллимированного лазерного пучка на БЛ-2 с противоположной стороны, т. е. со стороны плосковыпуклого компонента, ситуация аналогична рассмотренной выше. Будет иметь место характерное формирование сходящейся (*eo*) и расходящейся (*oe*) волн. Таким образом, в отличие от БЛ-1 линза типа БЛ-2 свойством неинвариантности не обладает.

**2. Распространение электромагнитных волн в БЛ.** В работах [8, 9, 16] частично рассматривалась векторная формулировка законов преломления для *o*- и *e*-лучей на сферической границе раздела и на выходной грани БЛ. Векторную формулировку законов преломления рассмотрим здесь более подробно и безотносительно к типу БЛ. Векторная запись законов преломления необходима для правильного анализа трассировки парциальных лучей через БЛ, расчета набега фаз и интерференции между различными волнами на выходе БЛ. Будем анализировать более общую ситуацию, когда оптическая ось в плосковыпуклом компоненте задается единичным вектором  $\mathbf{a}_2 = (0; \sin\psi; \cos\psi)$ , где  $\psi$  – угол между осью  $Oz$  и вектором  $\mathbf{a}_2$ . Пусть парциальный луч, распространяющийся слева направо параллельно оси  $Oz$ , падает на БЛ в точке  $M_1(d\cos\phi; d\sin\phi)$ . Здесь  $d$  – расстояние на входной грани от точки начала координат  $(0, 0)$  до точки  $M_1$ ;  $\phi$  – угол между осью  $Ox$  и радиусом-вектором  $\mathbf{d}$ , проведенным из точки  $(0, 0)$  в точку  $M_1$ . В области 2 волновой вектор парциального луча останется параллельным оси  $Oz$ :  $\mathbf{k}_1 = (0, 0, 1)$ . В области 3 волновой вектор преломленного на сферической границе парциального луча запишем в виде  $\mathbf{k}_2 = (\sin\alpha_2 \cdot \cos\phi; \sin\alpha_2 \cdot \sin\phi; \cos\alpha_2)$ , где  $\alpha_2$  – угол между осью  $z$  и волновым вектором  $\mathbf{k}_2$ . Для *oo*-луча угол  $\alpha_2^{oo} = 0$ . Угол  $\alpha_2^{oe}$  для *oe*-луча может быть найден из следующего закона преломления на сферической границе:

$$n_o^2 [1 - (\mathbf{k}_1 \cdot \mathbf{n}_1)^2] = \frac{n_e^2}{1 + \delta(\mathbf{k}_2^{oe}, \mathbf{a}_2)^2} [1 - (\mathbf{k}_2^{oe}, \mathbf{n}_1)^2], \quad (1)$$

где  $\delta = (n_e^2 - n_o^2)/n_o^2$ ;  $n_o$  и  $n_e$  – главные показатели преломления для обыкновенной и необыкновенной волн;  $\mathbf{n}_1 = \left( \frac{d}{R} \cos\phi; \frac{d}{R} \sin\phi; -\sqrt{1 - (d/R)^2} \right)$  – единичный вектор нормали, проведенный к сферической границе раздела в точ-

ке падения парциального луча. Здесь  $R$  – радиус сферической границы раздела. Для  $eo$ -луча угол  $\alpha_2^{eo}$  находится из закона преломления

$$\frac{n_e^2}{1 + \delta(\mathbf{k}_1 \mathbf{a}_1)^2} [1 - (\mathbf{k}_1 \mathbf{n}_1)^2] = [1 - (\mathbf{k}_2^{eo} \mathbf{n}_1)^2] n_o^2, \quad (2)$$

для  $ee$ -луча угол  $\alpha_2^{ee}$  определяется из соотношения

$$\frac{n_e^2}{1 + \delta(\mathbf{k}_1 \mathbf{a}_1)^2} [1 - (\mathbf{k}_1 \mathbf{n}_1)^2] = \frac{n_e^2}{1 + \delta(\mathbf{k}_2^{ee} \mathbf{a}_2)^2} [1 - (\mathbf{k}_2^{ee} \mathbf{n}_1)^2]. \quad (3)$$

Отметим, что формулы (2), (3) записаны для общего случая, когда  $e$ -луч распространяется в области 2 под углом к оси  $Oz$ .

На выходе из БЛ (область 4) волновой вектор преломленного на выходной грани парциального луча запишем в виде  $\mathbf{k}_3 = (\sin\alpha_3 \cdot \cos\varphi; \sin\alpha_3 \cdot \sin\varphi; \cos\alpha_3)$ , где  $\alpha_3$  – угол между осью  $z$  и волновым вектором  $\mathbf{k}_3$ . Для  $oo$ -луча угол  $\alpha_3^{oo} = 0$ . Законы преломления для  $eo$ -,  $oe$ - и  $ee$ -лучей на выходной грани при  $z = l$  имеют следующий вид:

для  $eo$ -луча

$$n_o^2 [1 - (\mathbf{k}_2^{eo} \mathbf{n}_2)^2] = 1 - (\mathbf{k}_3^{eo} \mathbf{n}_2)^2, \quad (4)$$

для  $oe$ -луча

$$\frac{n_e^2}{1 + \delta(\mathbf{k}_2^{oe} \mathbf{a}_2)^2} [1 - (\mathbf{k}_2^{oe} \mathbf{n}_2)^2] = 1 - (\mathbf{k}_3^{oe} \mathbf{n}_2)^2, \quad (5)$$

для  $ee$ -луча

$$\frac{n_e^2}{1 + \delta(\mathbf{k}_2^{ee} \mathbf{a}_2)^2} [1 - (\mathbf{k}_2^{ee} \mathbf{n}_2)^2] = 1 - (\mathbf{k}_3^{ee} \mathbf{n}_2)^2, \quad (6)$$

где  $\mathbf{n}_2 = (0, 0, 1)$  – нормаль к плоскости  $z = l$ .

В области 3 для  $oe$ - и  $ee$ -лучей направление переноса энергии, соответствующее лучевому вектору  $\mathbf{s}$ , не совпадает с направлением волнового вектора  $\mathbf{k}_2^e$ . Ориентация вектора  $\mathbf{s}$  в области 3 определяется выражением

$$\mathbf{s} = \frac{(n_e^2 - n_o^2)(\mathbf{k}_2 \mathbf{a}_2) \mathbf{a}_2 + n_o^2 \mathbf{k}_2^e}{\sqrt{n_e^4 (\mathbf{k}_2^e \mathbf{a}_2)^2 + n_o^4 [1 - (\mathbf{k}_2^e \mathbf{a}_2)^2]}}. \quad (7)$$

Рассмотрим теперь ситуацию, когда парциальный луч, параллельный оси  $Oz$ , падает на БЛ с ориентацией осей  $\mathbf{a}_1 = (1, 0, 0)$ ,  $\mathbf{a}_2 = (0, 0, 1)$  справа налево. В области 3 волновой вектор парциального луча, распространяющегося параллельно оси  $Oz$ , запишется в виде  $\mathbf{k}_1 = (0, 0, -1)$ . Для волнового вектора парциального луча, преломленного на сферической границе раздела и распространяющегося в области 2, имеем следующее выражение:  $\mathbf{k}_2 = (\sin\alpha_2 \cdot \cos\varphi; \sin\alpha_2 \cdot \sin\varphi; -\cos\alpha_2)$ , где  $\alpha_2$  – угол между осью  $Oz$  и волновым вектором луча в области 2. После преломления луча на плоской

грани БЛ-1 при  $z=0$  ориентация его волнового вектора имеет вид:  $\mathbf{k}_3 = (\sin\alpha_3 \cdot \cos\varphi; \sin\alpha_3 \cdot \sin\varphi; -\cos\alpha_3)$ , где  $\alpha_3$  – угол между осью  $Oz$  и волновым вектором луча в области I. Для о-луча углы  $\alpha'_2 = 0$  и  $\alpha'_3 = 0$ . Закон преломления для  $e$ -луча на сферической границе имеет вид:

$$n_o^2 [1 - (\mathbf{k}_1 \mathbf{n}_1)^2] = \frac{n_e^2}{1 + \delta(\mathbf{k}_2^e \mathbf{a}_1)^2} [1 - (\mathbf{k}_2^e \mathbf{n}_1)^2], \quad (8)$$

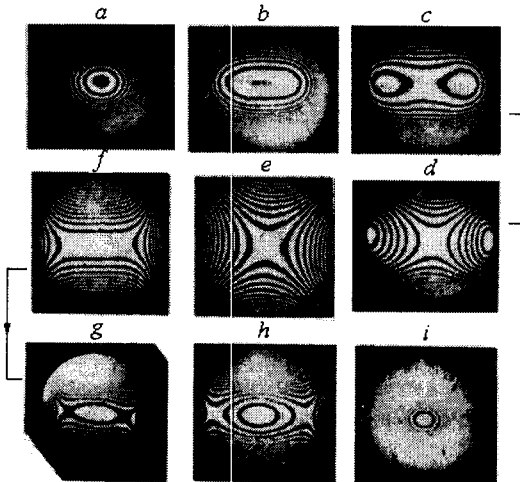
где  $\mathbf{n}_1$  – вектор нормали к сферической границе раздела в точке падения  $M_1$  парциального луча. В свою очередь, на границе  $z=0$  закон преломления для  $e$ -луча имеет следующий вид:

$$\frac{n_e^2}{1 + \delta(\mathbf{k}_2^e \mathbf{a}_1)^2} [1 - (\mathbf{k}_2^e \mathbf{n}_2)^2] = 1 - (\mathbf{k}_3^e \mathbf{n}_2)^2. \quad (9)$$

Здесь вектор  $\mathbf{n}_2 = (0, 0, -1)$  – нормаль к плоскости  $z=0$ .

Формулы (1)–(9) использовались в [8, 16, 17] для расчета трассировки лучей в БЛ, а также для анализа aberrационных характеристик  $eo$ - и  $ee$ -пучков в БЛ-1 и картин интерференции в БЛ-2.

**3. Синтез интерференционных полей при прохождении коноскопического лазерного пучка через БЛ-2.** 3.1. *Распространение коноскопического пучка вдоль оси системы.* Интерференционные поля, формируемые при прохождении циркулярно поляризованного коноскопического лазерного пучка через БЛ-2 в условиях, когда ось коноскопического пучка совпадает с осью  $Oz$  линзы, описаны в [17]. Формирование поля интерференции происходит за счет интерференции  $eo$ - и  $oe$ -волн на выходе БЛ-2. Анализатор  $A$  при этом ориентирован под углом  $45^\circ$  к ортогонально поляризованным  $eo$ - и  $oe$ -волнам. На рис. 3 показана трансформация интерференционной картины



*Рис. 3. Трансформация интерферограмм оптического поля БЛ-2 при центрально-симметричном прохождении коноскопического лазерного пучка ( $\lambda = 632,8$  нм) в зависимости от расстояния ( $\Delta z$ ) плоскости фокусировки пучка до входной грани БЛ-2. Фотографиям a–i соответствует расстояние  $\Delta z$ , мм: -17; -12,5; -10; -5; 0; +8; +10; +13; +16. Угол раствора коноскопического пучка  $28^\circ$*

в зависимости от параметра  $\Delta z$  коноскопического пучка. Здесь  $\Delta z$  – расстояние от точки фокуса коноскопического пучка до входной грани БЛ-2. В эксперименте коноскопический пучок, близкий к гомоцентрическому, создавался путем фокусировки коллимированного (диаметром 50 мм) циркулярно поляризованного лазерного пучка с помощью тройного объектива с фокусным расстоянием 100 мм. При отрицательных параметрах  $\Delta z$  БЛ-2 оказывается в расходящемся пучке, а при положительных параметрах  $\Delta z$  – в сходящемся пучке. Трансформация интерферограмм на рис. 3 характеризуется циклом воспроизведения кругового раstra типа колец Френеля ( $a$  и  $i$ ) через промежуточную интерферограмму гиперболического типа ( $e$ ). Гиперболической интерферограмме ( $e$ ) соответствует нулевой параметр  $\Delta z$ . Из рис. 3 видно, что для  $+\Delta z$  и  $-\Delta z$ -перемещений линзы относительно точки фокуса коноскопического пучка имеет место неинвариантность (различный характер) перехода от равнобочно-гиперболического к кольцевому раstrу. Сильная изменчивость интерференционного поля в зависимости от параметра  $\Delta z$  позволяет использовать БЛ-2 для построения продольного интерферометра сдвига, а также для устройств контроля угловой расходимости лазерного излучения. Подразумевается, что указанные устройства содержат анализатор оптических изображений типа CCD-матричного фотоприемника. В результате анализа двумерного сигнала, поступающего из CCD-приемника, на специализированном цифровом процессоре по специальному алгоритму возможна оценка в реальном времени параметров исследуемого лазерного излучения. Поляризационный интерферометр [22, 23] позволяет проводить абсолютные измерения малых продольных перемещений объекта в положительном ( $+\Delta z$ ) и отрицательном ( $-\Delta z$ ) направлениях по зависимости вида двумерной интерферограммы от координаты  $\Delta z$ . Величина измеряемого перемещения (до 60 мм) ограничивается циклом воспроизведения кольцевой интерференционной картины.

**3.2. Внеосевое распространение коноскопического пучка.** Случай внеосевого прохождения коноскопического лазерного пучка через БЛ-2 (рис. 4) описан в работе [24]. Рассмотрим вначале ориентацию БЛ-2 относительно оси коноскопического пучка, которая представлена на рис. 4, *b*. Интенсивность поля интерференции в произвольной точке  $M(x, y)$  экрана определяется разностью фаз между приходящими в эту точку парциальными  $eo$ - и  $oe$ -волнами. Соответствующая трансформация интерферограмм в зависимости от параметра  $\Delta z$  показана на рис. 5. При внеосевом прохождении коноскопического пучка по варианту, приведенному на рис. 4, *b*, в плоскости  $x, y$  экрана синтезируются интерференционные поля вида

$$I(x, y) = (I_0/2)[\cos(\alpha x^2 + y^2 - R^2) + 1].$$

Здесь  $\alpha, R^2$  – параметры интерференционной картины;  $I_0$  – интенсивность в максимумах поля. Трансформация интерферограмм от (*a*) до (*f*) соответствует плавному уменьшению параметра  $\alpha R^2$  из области положительных значений в область отрицательных значений. Детальный фурье-анализ данного вида интерференционных полей содержится в работах [25–27]. Поле фраунгофера дифракции на микродиапозитивах интерферограмм с большими положительными параметрами  $\alpha R^2$  аналогично полю каустики, сформированному фокусирующем фазовым элементом с aberrациями комы третьего порядка [25]. Известно, что фокусирующиеся волновые фронты с aberr-

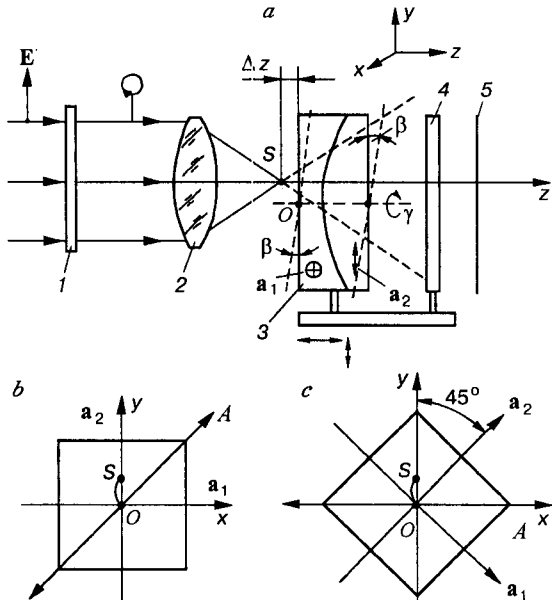
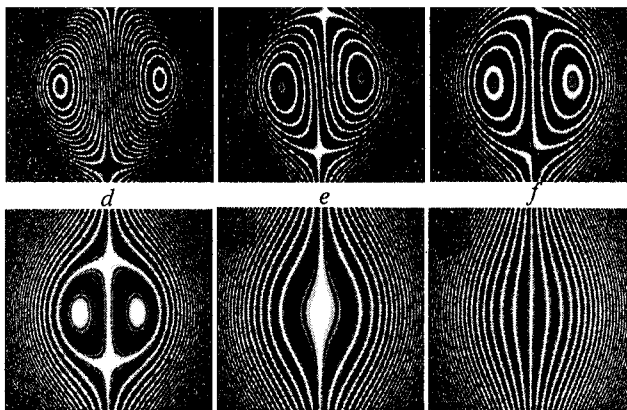


Рис. 4. Принципиальная схема экспериментальной установки для синтеза сложных интерферограмм при внеосевом распространении коноскопического пучка (а): 1 – четвертьволновая пластина, 2 – тройплетный объектив, 3 – линза БЛ-2 на трехкоординатном столике, 4 – анализатор, 5 – экран или CCD-приемник изображения; два варианта синтеза интерферограмм, отличающихся поворотом БЛ-2 в плоскости  $x$ ,  $y$  вокруг точки  $O$  на угол  $45^\circ$  (б, в)

рациями комы третьего порядка, сдвинутые в поперечном направлении, характеризуются в плоскости апертуры следующим законом отклонения фазы волнового фронта от идеальной опорной сферы:  $\Delta\phi(x, y) = ax(x^2 + y^2 - R^2)$ . Поэтому данный класс интерференционных полей можно использовать для записи фазовых киноформов и голограммических решеток, предназначенных для коррекции аберраций комы третьего порядка у волновых фронтов. Как и для предыдущего класса полей, высокая чувствительность интерферограмм к продольному сдвигу коноскопического пучка может быть использована при построении интерферометрических устройств для измерения малых линейных перемещений. В работе [24] также отмечена высокая чувствительность вида интерференционной картины с большим параметром  $aR^2$  к малому углу наклона БЛ-2 относительно коноскопического пучка. Так, при малых углах наклона линзы  $\beta$  интерференционное поле описывается законом

$$I(x, y) = (I_0/2)[\cos(ax(x^2 + y^2 - R^2) + ky) + 1].$$

Здесь параметр  $k$  линейно зависит от угла наклона  $\beta$  в интервале  $0-10^\circ$ . Как видно из формулы и рис. 5, наличие добавки  $+ky$ , вносимой в разность фаз между интерферирующими  $e\sigma$ - и  $o\sigma$ -пучками из наклона, приводит к следующему. В результате неточной ориентации БЛ-2 или после разьюстировки на угол  $\beta$  часть интерференционных линий становится незамкнутой – появляются крюкообразные линии (см. рис. 5, а, б). При дополнительном вращении



*Рис. 5.* Трансформация интерференционного поля, формируемого при прохождении через БЛ-2 внеосевого коноскопического лазерного пучка в зависимости от параметра  $\Delta z$ . Параметр  $\Delta z$ , мм:  $a = +2,25$ ;  $b = +0,35$ ;  $c = 0$ ;  $d = -0,6$ ;  $e = -2,35$ ;  $f = -4,5$ ;  $\lambda = 632,8$  нм. Полный угол раствора коноскопического пучка  $28^\circ$ , смещение центра  $S$  коноскопического пучка в  $x$ -направлении 4 мм. Регистрация интерферограмм осуществлялась с помощью TV-датчика типа диссектора с диаметром вырезывающего отверстия 3 мкм при сканировании по квадратной апертуре. Вывод изображений осуществлялся по данным компьютера, сопряженного с TV-датчиком.

Расстояние от экрана до БЛ-2 60 мм

БЛ-2 вместе с анализатором вокруг точки  $O$  в плоскости  $(x, y)$  на угол  $\gamma$  интерференционное поле еще более усложняется [28] и описывается законом

$$I(x, y) = (I_0/2)[\cos(a(x - d)(x^2 + y^2 - R^2) + ky) + 1],$$

где  $d$  – параметр, зависящий от угла поворота  $\gamma$ . На практике плавное изменение интерференционного растра достигается за счет трехкоординатного управления перемещением БЛ-2 относительно коноскопического пучка с помощью прецизионного столика и дополнительных вращений БЛ-2 с помощью поворотных устройств. Интерферограммы, синтезированные при дополнительном вращении БЛ-2 в плоскости  $x, y$  на угол  $\gamma = 45^\circ$  (рис. 4, *c*), трансформируются в зависимости от параметра  $\Delta z$  так, как это показано на рис. 6.

Высокая чувствительность вида интерферограмм к малым углам наклона  $\beta$  и поворота  $\gamma$  делает режим синтеза при внеосевом распространении коноскопического пучка еще более пригодным для создания устройств типа анализатора оптического изображения для оценки малых угловых и линейных перемещений объекта, контроля угловой расходимости лазерного излучения. Учитывая компактность и виброустойчивость элемента, осуществляющего разделение и последующее смешение интерферирующих пучков, возможно использование БЛ-2 в оптических системах прецизионной ориентации объектов.

Отметим, что вид интерференционного поля не зависит от направления распространения падающего на БЛ-2 коноскопического пучка.

**3.3. Интерференция поляризованных волн на выходе БЛ-1.** Интерференционные поля, формируемые при прохождении лазерного пучка через линзу БЛ-1, описаны в [21]. В этой работе отмечаются два новых свойства: неинвариантность

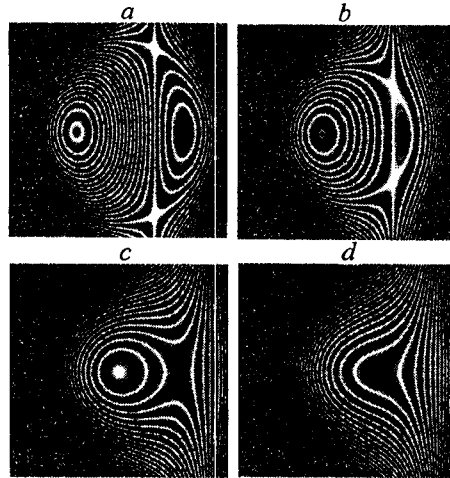


Рис. 6. Трансформация интерферограмм, синтезированных при дополнительном повороте БЛ-2 на  $45^\circ$  в плоскости  $x, y$  вокруг точки  $O$ , в зависимости от параметра  $\Delta z$ . (Анализатор поворачивался в плоскости  $(x, y)$  вместе с БЛ-2.) Параметр  $\Delta z$ , мм:  $a = +2,5$ ; ...;  $d = -4,5$ ;  $\lambda = 632,8$  нм

риантность картин интерференции для различных направлений распространения падающего на БЛ-1 пучка и так называемый режим «безанализаторной» интерференции. «Безанализаторная» интерференция возникает при наклонном падении коллимированного лазерного пучка на БЛ-1 со стороны плосковыпуклого компонента и связана с появлением двух систем интерференционных концентрических колец, наблюдаемых непосредственно за выходной гранью БЛ-1 в отсутствие анализатора. При этом внутренняя система интерференционных колец обусловлена интерференцией  $oe$ - и  $ee$ -лучей с поляризацией в плоскости  $xOz$ , а внешняя система колец – интерференцией  $oo$ - и  $eo$ -лучей с поляризацией в плоскости  $yOz$ . Таким образом, данный режим характеризуется совместной попарной интерференцией ( $oe, ee$ ) и ( $oo, eo$ ) волн, причем в каждой паре комбинируются волны с одинаковым состоянием поляризации. Плоскость поляризации интерферирующих волн в первой паре ортогональна плоскости поляризации интерферирующих волн во второй паре.

4. **Дифракционное поле в области фокусировки линзы типа БЛ-1.** Фокусировка  $eo$ - и  $ee$ -волн, реализуемая при падении плоской волны на БЛ-1 со стороны плосковогнутого компонента, исследовалась теоретически в [19]. Рассчитанные на компьютере картины дифракционных полей при различных параметрах дефокусировки приведены на рис. 7. Изображения  $a - c$  соответствуют дифракционным полям, формируемым вблизи фокуса в результате эволюции  $E_x$ -компонент векторов напряженности электрического поля для  $eo$ - и  $ee$ -волн. В свою очередь, дифракционные изображения  $d - f$  формируются в результате эволюции  $E_y$ -компонент векторов напряженности электрического поля для  $eo$ - и  $ee$ -волн. Дифракционные картины, соответствующие  $E_x$ - или  $E_y$ -компонентам поля, реализуются при ортогональных ориентациях анализатора, устанавливаемого за выходной гранью БЛ-1. В отсутствие анализатора результатирующее распределение интенсивности дифракционного поля в  $x, y$ -плоскости есть сумма интенсивностей полей,

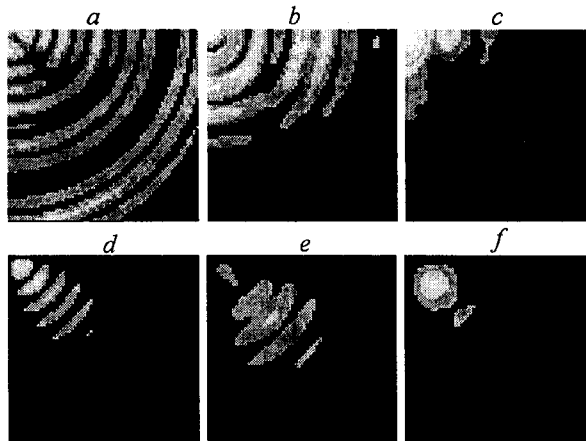


Рис. 7. Дифракционные структуры вблизи «дуплетного» фокуса БЛ-1 при различных положениях экранной плоскости. Картины *a–c* – для  $E_x$ -компоненты вектора напряженности электрического поля; картины *d–f* – для  $E_y$ -компоненты вектора электрического поля. Положение плоскости экрана *f*, мм: *a, d* – 137; *b, c* – 139; *c, f* – 141;  $\lambda = 632,8$  нм. Дифракционное изображение приводится только для одного из квадрантов  $xOy$ . Размеры квадранта  $65 \times 65$  мкм

формируемых за счет  $E_x$  и  $E_y$ -компонент векторов напряженности электрического поля. Видно, что часть дифракционных линий с картин *d–f* дополняет дифракционные линии с картин *a–c* до полностью замкнутых.

В этом разделе мы приведем данные работ [20, 29] по исследованию фокусировки *e*-пучка в результате падения плоской волны со стороны плоско-выпуклого компонента. Сходящийся *e*-пучок искажен сферической аберрацией и астигматизмом. В результате дифракционное поле в области фокусировки относится к классу структурно-стабильных полей (так называемых дифракционных катастроф). Экспериментальные фотографии дифракционных картин, регистрируемых в плоскости экрана при помощи микроскопа, представлены на рис. 8 при различных параметрах дефокусировки  $\Delta z$  и углах наклона коллимированного пучка относительно входной грани БЛ-1. В [20]

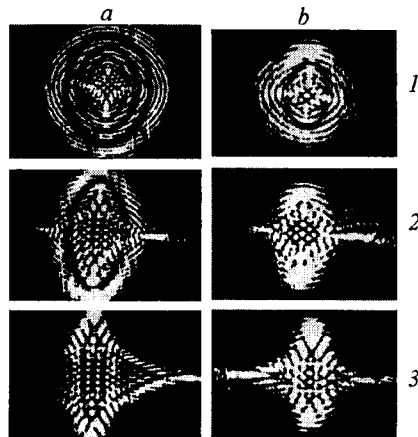


Рис. 8. Дифракционные структуры в окрестности астигматического фокуса БЛ-1 при различных параметрах дефокусировки  $\Delta z$  (*a* – 5,8 мм, *b* – 3,8 мм) и углах поворота БЛ-1 (1 – 0°, 2 – 6°, 3 – 9°). Регистрация на фотопленку осуществлялась при помощи микроскопа,  $\lambda = 632,8$  нм

геометрически правильная ячеистая структура в центрах дифракционных картин, формирующихся вблизи фокуса при нормальном падении на БЛ-1 коллимированного пучка, объяснена на базе геометрооптической интерпретации результатов дифракции. Так, анализируя стационарные точки дифракционного интеграла, удалось показать, что центральные ячеистые элементы сформированы в результате 5-лучевой интерференции парциальных волн, исходящих из различных точек на апертуре исходного волнового фронта. Расположенные снаружи протяженные серповидные элементы сформированы, в свою очередь, в результате 3-лучевой интерференции соответствующих парциальных волн.

Как отмечалось в [29], дискретные размеры регулярной ячеистой структуры дифракционного поля линейно зависят от малых углов поворота БЛ-1 относительно падающего коллимированного пучка (см. рис. 8). Так, при увеличении угла поворота от  $6$  до  $9^\circ$  ромбовидная ячеистая структура в центре дифракционной картины изменяет свой дискретный размер от  $3 \times 3$  до  $4 \times 4$  (при параметре  $\Delta z = 3,8$  мм). Здесь имеется в виду следующее: «крупные» ячейки дифракционного поля с максимальной интенсивностью расположены в узлах правильной ромбовидной сетки, при этом с увеличением угла поворота число «крупных» ячеек, задаваемое количеством узлов в сетке, изменяется от  $3 \times 3$  до  $4 \times 4$ . В свою очередь, при параметре дефокусировки  $\Delta z = 5,8$  мм и угле поворота  $6^\circ$  в центре дифракционной картины имеем «крупные» ячейки поля, расположенные в узлах правильной прямоугольной сетки размером  $3 \times 4$ . В междуузлиях «крупных» ячеек и частично вокруг них расположены «маленькие» ячейки поля со значительно меньшей интенсивностью. Изменение угла поворота от  $6$  до  $9^\circ$  приводит к изменению дискретного размера прямоугольной ячеистой структуры, составленной из «крупных» ячеек, от  $3 \times 4$  до  $4 \times 5$ . Таким образом, одинаковые углы поворота БЛ-1 приводят при разных параметрах дефокусировки ( $\Delta z = 3,8$  мм и  $\Delta z = 5,8$  мм) к одному увеличению дискретного размера ячеистой структуры – на единицу по каждому из измерений.

В [20] приведены результаты компьютерных расчетов трехмерного дифракционного поля, возникающего при нормальном падении на БЛ-1 лазерного пучка. При этом показано, что амплитудная волновая функция внутри остроконечной четырехгранной пирамиды, отделяющей область 5-лучевой интерференции парциальных волн от области 3-лучевой интерференции, характеризуется трубчато-ячеистой структурой. В  $z$ -направлении структура преимущественно трубчатая, а в плоскости  $(x, y)$  – ячеистая. В свою очередь, фазовая функция волнового поля характеризуется сложной системой дислокаций дифракционного волнового фронта.

Сильная изменчивость вида дифракционных картин от параметра дефокусировки  $\Delta z$  и угла наклона БЛ-1 относительно коллимированного пучка может найти применение при создании устройств измерения малых угловых и линейных перемещений.

**5. Другие применения бифокальных линз.** Интерференционные поля сложной структуры, формируемые линзой БЛ-2, можно использовать в гетеродинных лазерных акустооптических устройствах корреляционной обработки сигналов [30]. В [28] эти интерференционные поля предлагаются использовать для синтеза сложных радиосигналов (например, квадратично-частотно-модулированного сигнала). Быстроизменяющийся во времени по определенному закону электрический сигнал вырабатывается в результате сканирования изображения интерферограммы, подаваемого на вход пере-

дающей ТВ-трубки мгновенного действия типа диссектора через малую апертуру диаметром 3–10 мкм.

Также возможно применение линзы БЛ-1 в качестве астигматического элемента в блоке контроля фокусировки в системах дисковой оптической и магнитооптической памяти высокой плотности. В последнем случае используется свойство сильной изменчивости вида дифракционных картин от параметра дефокусировки.

Использование линз типа БЛ-1 и БЛ-2 целесообразно в оптических схемах, формирующих коллимированные, сходящиеся и расходящиеся лазерные пучки с ортогональной поляризацией.

**Заключение.** Лазерная интерферометрия имеет различные направления построения схемных решений и обширные применения [31]. В интерферометрических схемах часто используются различные оптические элементы. В [32], например, предлагалось включать компьютерно-синтезированные голограммы (киноформы) в качестве дополнительных элементов в интерферометры Маха – Цендера и различные варианты интерферометров сдвига. Работы [5, 9, 10, 12] положили начало самостоятельному направлению в интерферометрии – поляризационной интерферометрии на основе ДКЭ. Поскольку ДКЭ являются многофункциональными элементами, то они могут использоваться как расщепители и группирователи поляризованных пучков и в других задачах.

На основе БЛ возможно построение новых поляризационных интерферометров продольного и поперечного сдвигов. Как и призмы ДППУД, линза типа БЛ-2 является элементом, который одновременно совмещает три функции: расщепляет пучок на две *eo*- и *oe*-волны, вносит разность фаз между последними и осуществляет смешивание обеих волн на выходе. Ясно, что элемент, выполняющий все эти функции, имеет преимущества для интерферометрии сдвига по сравнению, например, с интерферометрической системой, состоящей из светоделительных призм (или пластин) и плоских зеркал. Связано это с тем, что в первом случае интерферометр на основе БЛ отличается повышенной виброустойчивостью и компактностью. Во втором случае, в связи с наличием не менее чем двух элементов, осуществляющих расщепление и последующее смешивание волн, будет иметь место «разрушение» интерференционной картины при малой некоррелированной вибрации составных элементов. БЛ-2 имеет преимущества в тех интерферометрических схемах, в которых ставится задача определения угловой сходимости (расходимости) лазерного излучения и угла его наклона относительно входного окна интерферометрической системы. По точностным характеристикам интерферометр на основе БЛ-2 эквивалентен схеме, в которой интерфирируют попутные коллимированные лазерные пучки, распространяющиеся относительно друг друга под углом не более  $\approx 6^\circ$  и формирующие интерференционный растр с пространственной частотой не выше 170 пер./мм. Точность измерения угловых и линейных перемещений в интерферометре на основе БЛ-2 определяется процедурой распознавания изменения интерферограммы после перемещения объекта. Точность такой процедуры при использовании компьютера составляет примерно 0,1 и 0,001 интерференционной полосы соответственно для локальных участков интерференционного растра с высокими ( $\geq 150$  пер./мм) и низкими (1,5 пер./мм) пространственными частотами. В интерферометре на основе БЛ-2 для прецизионного анализа могут использоваться фрагменты интерферограмм с высокими пространственными частотами, где чувствительность к угловым и линейным перемещениям велика.

Однако на периферии интерференционных картин контраст полос (глубина модуляции) снижается и достигает 12 % при пространственной частоте 170 пер./мм. В центральной части интерференционного растра контраст полос составляет около 100 % для всех значений пространственных частот из интервала 0–170 пер./мм. Преимуществом интерферометра на БЛ-2 является и то, что информацию об абсолютной величине  $\Delta z$  можно получить по одному только виду интерференционной картины. Для интерферограмм на рис. 3 диапазон изменения  $\Delta z$  составляет от –40 до +20 мм, а для интерферограмм на рис. 5 – от –4,5 до +2,5 мм.

В статье рассмотрены интерференционные и дифракционные поля, формируемые бифокальными линзами из одноосных кристаллов исландского шпата. В оптическом приборостроении могут широко использоваться лишь те двупреломляющие одноосные кристаллы, которые практически нерастворимы в воде и негигроскопичны и обладают приемлемыми для практики механическими свойствами. Исландский шпат ( $\text{CaCO}_3$ ) является единственным кристаллом из этого класса материалов, обладающим наибольшим значением  $(n_o - n_e)/n_o$  и широкой областью спектральной прозрачности 300–2300 нм. Для длины волны гелий-неонового лазера (632,8 нм) главные показатели преломления равны  $n_o = 1,65504$  и  $n_e = 1,4849$ . Выбор этого природного материала благоприятен также и потому, что его кристаллы могут быть выбраны с высокой пространственной однородностью оптических характеристик, тогда как большинство искусственно выращиваемых одноосных кристаллов, таких как ниобат лития ( $\text{LiNbO}_3$ ), молибдат свинца ( $\text{PbMoO}_4$ ), рутил ( $\text{TiO}_2$ ), парателлурит ( $\text{TeO}_2$ ), имеют в ряде случаев небольшую пространственно неоднородную анизотропию по объему кристалла. Поэтому в оптическом приборостроении поляризационные призмы и поляризационные расщепители пучков традиционно изготавливаются из природных кристаллов исландского шпата, которые по-видимому еще долгое время будут актуальны. Дальнейшее широкое использование в оптической промышленности этого материала ограничено, что связано с отсутствием эффективных методов искусственного выращивания кристаллов  $\text{CaCO}_3$ .

В связи с этим необходимо отметить, что в последние 10 лет успехи технологии роста оптических кристаллов позволили разработать эффективный процесс выращивания отрицательного одноосного кристалла  $\text{BaB}_2\text{O}_4$  (так называемый  $\alpha$ -BBO-кристалл) методом Чохральского. Указанным способом, пригодным для промышленного использования, выращиваются совершенные  $\alpha$ -BBO-кристаллы с областью спектральной прозрачности 189–3500 нм, высокой лучевой прочностью, низкой гигроскопичностью, хорошими механическими свойствами и следующими параметрами для показателей преломления:  $n_o = 1,652$ ,  $n_e = 1,530$  при  $\lambda = 632,8$  нм. Для кристалла  $\alpha$ -BBO величина  $(n_o - n_e)/n_o$  меньше, чем в случае исландского шпата. Однако в связи с возможностью искусственного выращивания больших кристаллов  $\alpha$ -BBO с высокой оптической однородностью ( $\Delta n = 10^{-6} \text{ см}^{-1}$ ) актуально их широкое использование в оптическом приборостроении и технике ультрафиолетового диапазона.

Таким образом, рассмотренные выше новые интерференционно-поляризационные свойства бифокальных линз из отрицательных одноосных кристаллов делают эти элементы (при условии их изготовления либо из исландского шпата, либо из  $\alpha$ -BBO) привлекательными для использования в лазерных и оптических устройствах.

## СПИСОК ЛИТЕРАТУРЫ

1. Осипов В. А., Осипов Ю. В. Двупреломляющая призма с переменным углом двоения // Опт.-мех. пром-сть. 1970. № 11. С. 68.
2. Осипов Ю. В. Пространственный мультиплексор сигналов // Изв. вузов СССР. Сер. Радиофизика. 1972. **15**, № 12. С. 1822.
3. Осипов Ю. В. Об одной модификации двупреломляющей призмы из исландского шпата и ее свойствах // Опт.-мех. пром-сть. 1976. № 4. С. 58.
4. Барсуков К. А., Осипов Ю. В., Попов В. Н. О свойствах двупреломляющих призм переменного угла двоения // Оптика и спектроскопия. 1980. **48**, № 3. С. 605.
5. Барсуков К. А., Осипов Ю. В., Попов В. Н. Об интерференционных растрах, формируемых двупреломляющими призмами переменного угла двоения // Оптика и спектроскопия. 1981. **50**, № 1. С. 191.
6. А. с. 879537 СССР. Двупреломляющая призма переменного угла двоения /Ю. В. Осипов, В. Н. Попов. Опубл. 07.11.81, Бюл. № 41.
7. Осипов Ю. В. Поляризационные линзы бинарной конструкции // Опт.-мех. пром-сть. 1973. № 5. С. 5.
8. Барсуков К. А., Осипов Ю. В., Умбетов А. У. Оптические свойства бифокальных линз из одноосных кристаллов // Оптика и спектроскопия. 1984. **56**, № 3. С. 523.
9. Осипов Ю. В. Лазерные измерительные устройства с кристаллооптическими элементами из исландского шпата. Л.: ЛДНТП, 1984.
10. А. с. 838638 СССР. Интерференционный резольвометр /Ю. В. Осипов, В. Н. Попов. Опубл. 15.06.81, Бюл. № 22.
11. Осипов Ю. В. Влияние когерентности излучения на видность полос в интерферометре на основе двупреломляющей призмы переменного угла двоения // Опт. журн. 1997. **64**, № 6. С. 24.
12. А. с. 913056 СССР. Поляризационный интерферометр сдвига /Ю. В. Осипов, В. Н. Попов, Е. А. Сизова, В. С. Фирсов. Опубл. 15.03.82, Бюл. № 10.
13. А. с. 106823 СССР. Бифокальная кристаллическая линза /В. А. Осипов. Заявл. 04.06.56. Опубл. 28.05.57, Бюл. № 6.
14. Eng R. S., Leib K. G. Multiple imagery with birefringent lenses // Appl. Opt. 1969. **8**, N 10. P. 2117.
15. Chandrasekharan V., Damany H. Birefringent lens polarizer for the vacuum ultraviolet // Appl. Opt. 1971. **10**, N 3. P. 681.
16. Осипов Ю. В., Осипов В. Ю. Сферическая аберрация бифокальной линзы // Опт.-мех. пром-сть. 1988. № 7. С. 21.
17. Осипов Ю. В., Осипов В. Ю. Интерференционное поле бифокальной линзы из одноосных кристаллов // Опт.-мех. пром-сть. 1991. № 1. С. 26.
18. Осипов В. Ю. Тонкая структура волнового поля в окрестности дуплетного фокуса бифокальной линзы из одноосных кристаллов // Оптика и спектроскопия. 1994. **76**, № 3. С. 534.
19. Осипов В. Ю. Сферическая аберрация для обыкновенного и необыкновенного пучков, формируемых бифокальной линзой из одноосных кристаллов // Автометрия. 1995. № 6. С. 82.
20. Осипов В. Ю. Дифракционная катастрофа в области фокусировки волнового фронта, деформированного сферической аберрацией и астигматизмом // Автометрия. 1996. № 5. С. 48.
21. Осипов Ю. В. Интерференционно-поляризационные свойства кристаллооптической бифокальной линзы // Опт. журн. 1998. **65**, № 3. С. 25.

22. А. с. 1026001 СССР. Поляризационный интерферометр /Ю. В. Осипов, А. У. Умбетов. Опубл. 30.06.83, Бюл. № 24.
23. А. с. 1095033 СССР. Поляризационный интерферометр сдвига /Ю. В. Осипов, А. У. Умбетов, В. С. Фирсов. Опубл. 30.05.84, Бюл. № 20.
24. Осипов В. Ю., Осипов Ю. В. Оптический синтез и двумерный фурье-анализ сложных КЧМ-интерференционных полей // ЖТФ. 1992. **62**, № 6. С. 140.
25. Осипов В. Ю. Дифракция на сложных синтезированных решетках-интерферограммах // Автометрия. 1993. № 4. С. 54.
26. Осипов В. Ю. Оптически реализуемый двумерный фурье-анализ сложных интерференционных полей // Автометрия. 1993. № 6. С. 60.
27. Осипов В. Ю. Дифракция плоской волны на одном классе практически важных сложных интерферограмм // Автометрия. 1994. № 4. С. 75.
28. Osipov Yu. V., Metlitsky E. A. Synthesis, analysis and processing of two-dimensional interferograms with quadratic frequency modulated and cubic frequency modulated signal structure // Pattern Recognition and Image Analysis. 1991. 1, N 2. P. 247.
29. Осипов В. Ю. Ячеистая структура волнового поля в окрестности дуплетного фокуса бифокальной линзы из одноосных кристаллов // Опт. журн. 1995. № 2. С. 31.
30. Осипов Ю. В. Лазерные гетеродинные интерферометры // Опт. журн. 1998. **65**, № 11. С. 88.
31. Короневич В. П., Соболев В. С., Дубнищев Ю. Н. Лазерная интерферометрия. Новосибирск: Наука, 1983.
32. Bryngdahl O. Computer-generated holograms as generalized optical components // Opt. Eng. 1975. **14**, N 5. P. 426.

*Поступила в редакцию 13 мая 1998 г.*

---